

# Analiza szeregów czasowych

Krawiec Piotr

18/06/2021

## **Streszczenie**

Celem pracy jest analiza dwóch szeregów czasowych z wykorzystaniem języka R. Pierwszego zawierającego silną sezonowość, drugiego silny trend. Szeregi poddane dekompozycji, usunięciu trendu i sezonowości. Zbadana i potwierdzona została stacjonarność reszt obu szeregów, a ostatecznie zostały modelowane modelem ARIMA. Przewidywania dotyczące dalszego ich przebiegu zostały stworzone z pomocą metod naiwnych uwzględniających dryf, a także sezonowość. Analiza reszt obu szeregów potwierdziła, że stanowią one realizację szumu białego.

# Spis treści

<b>1 Szereg - Rozwój biznesu</b>	<b>3</b>
1.1 Wczytanie danych . . . . .	3
1.2 Główne cechy analizowanych danych . . . . .	3
1.3 Dekompozycja szeregu . . . . .	6
1.3.1 Modele regresji z trendem liniowym i sezonowością . . . . .	6
1.3.2 Model addytywny . . . . .	8
1.4 Eliminacja trendu i sezonowości . . . . .	10
1.5 Wyznaczenie rzędu MA . . . . .	11
1.6 Wyznaczenie rzędu AR . . . . .	13
1.7 auto.arima . . . . .	14
1.8 Porównanie analizowanych modeli . . . . .	14
1.9 Prognozowanie . . . . .	15
1.9.1 Prognozowanie naiwne metodą średniej . . . . .	15
1.9.2 Prognozowanie naiwne sezonowe . . . . .	17
<b>2 Index cen nieruchomości</b>	<b>17</b>
2.1 Wczytanie danych . . . . .	17
2.2 Główne cechy analizowanych danych . . . . .	18
2.3 Dekompozycje szeregu . . . . .	18
2.3.1 Modele z trendem liniowym, wielomianowym i sezonowością . . . . .	18
2.3.2 Model multiplikatywny . . . . .	19
2.4 Usunięcie trendu i sezonowości . . . . .	20
2.5 Wyznaczenie rzędu MA . . . . .	21
2.6 Wyznaczenie rzędu AR . . . . .	22
2.7 auto.arima . . . . .	23
2.8 Porównanie analizowanych modeli . . . . .	23
2.9 Prognozowanie . . . . .	24
2.9.1 Błądzenie losowe z dryfem . . . . .	24
2.9.2 Prognozowanie naiwne sezonowe . . . . .	26
<b>3 Wnioski</b>	<b>26</b>

---

## 1 Szereg - Rozwój biznesu

Na szereg ten składają się dane pochodzące ze strony FRED. Dane zbierane są przez U.S Census Bureau, obejmują lata 2006-2021. Zbierane są w tygodniowych odstępach i dotyczą ilości wniosków o wydanie identyfikatora EAN (Employer Identification Number). Każdy pracodawca, korporacja, organizacja non-profit itp. muszą posiadać takie numery, aby móc rozliczać się z podatku. Jest to zatem dobry wskaźnik tego ile nowych biznesów powstaje.

Do korzyści jakie przyniesie prognoza należy przewidywanie rozwoju gospodarki, gdyż nowo powstające biznesy mogą świadczyć o tym że w kraju panują korzystne warunki do rozwoju biznesu. Analiza szeregu pozwoli też przewidzieć jak ludzie postrzegają obecny stan gospodarki - czy są w stanie zaryzykować inwestując we własny biznes.

### 1.1 Wczytanie danych

W tym etapie wczytałem dane oraz uzupełniłem brakujące wartości średnimi.

```
## Warning: NAs introduced by coercion
```

```
##      DATE BUSAPPWNSAUS
## 1 2006-01-07      39580
## 2 2006-01-14      36920
## 3 2006-01-21      63300
## 4 2006-01-28      51910
## 5 2006-02-04      61430
## 6 2006-02-11      62890
```

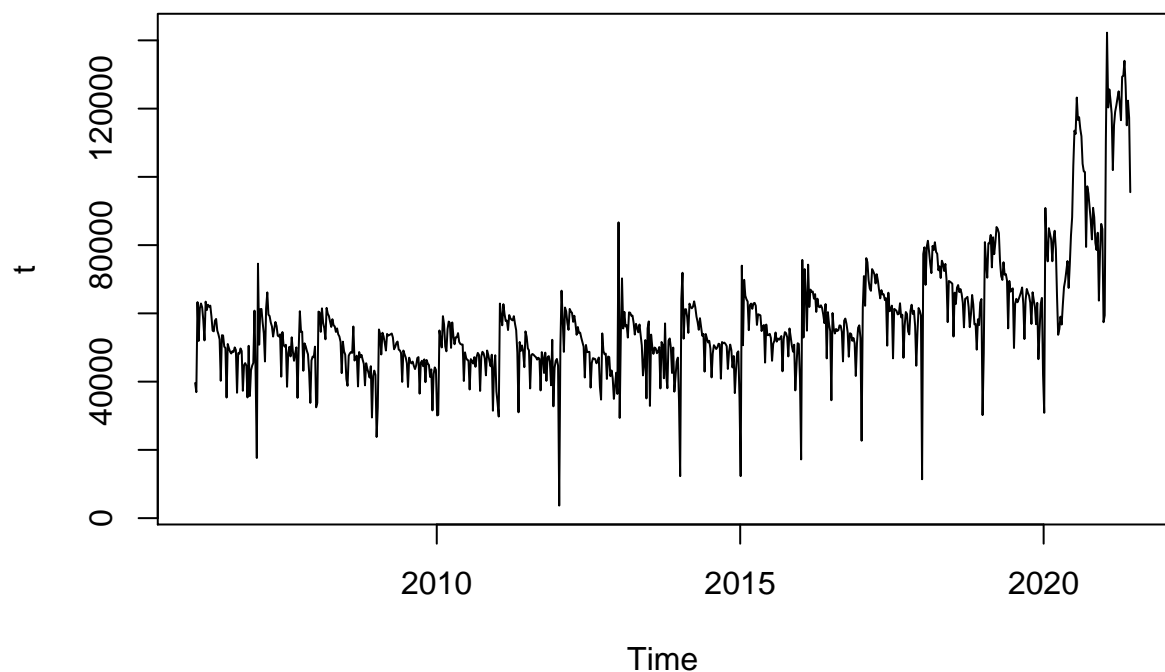
### 1.2 Główne cechy analizowanych danych

Tak prezentuje się wykres ilości wniosków w czasie:

```
library("forecast")

## Registered S3 method overwritten by 'quantmod':
##   method      from
##   as.zoo.data.frame zoo

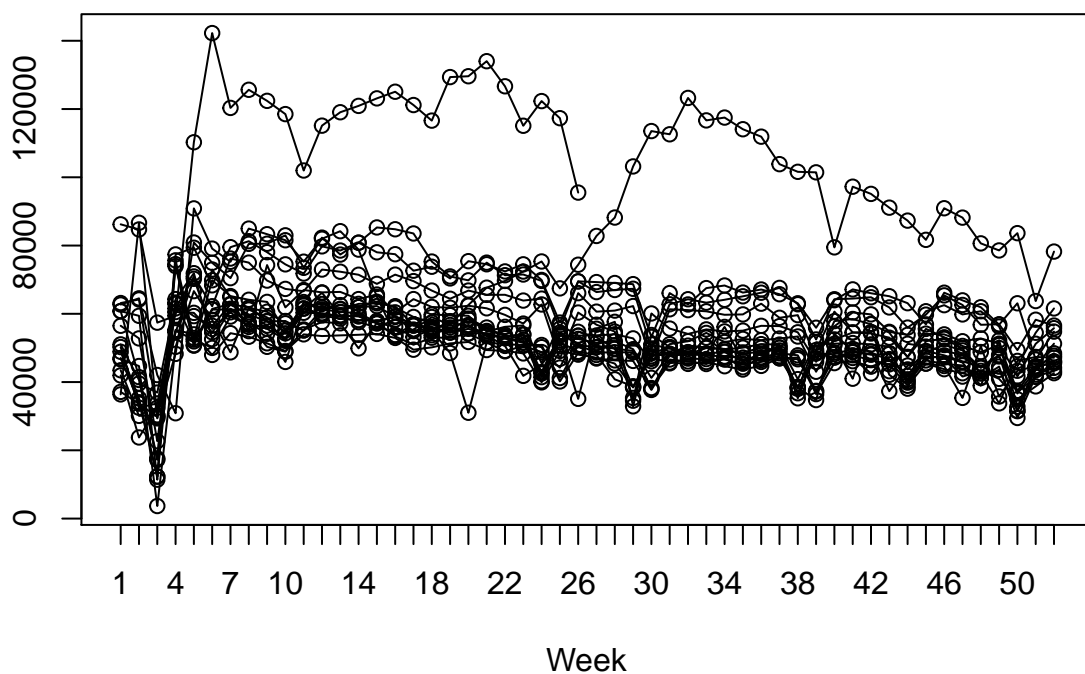
t <- ts(d$BUSAPPWNSAUS, freq = 365.25/7, start = 2006 + 7/365.25)
plot(t)
```



Z wykresu wywnioskować możemy że szereg ten posiada dużą sezonowość, pojawia się tu charakterystyczny wzorec (odstające szpilki). Widać także niewielki dodatni trend, który gwałtownie rośnie na początku roku 2020.

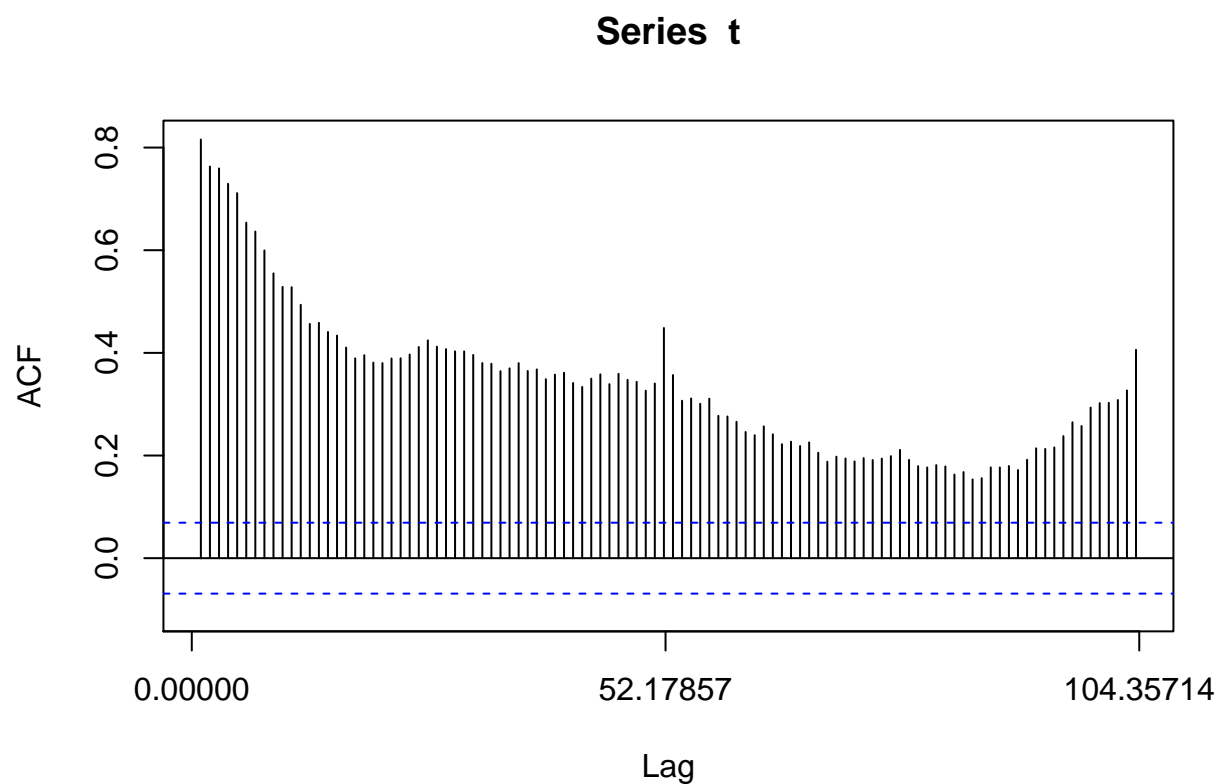
```
seasonplot(t)
```

### Seasonal plot: $t$



Porównując kolejne roczne sezony między sobą, sezonowość widać jeszcze dokładniej. Pojawia się też rok 2020, który znacznie odstaje wartościami, lecz kształtem nadal przypomina poprzednie sezony.

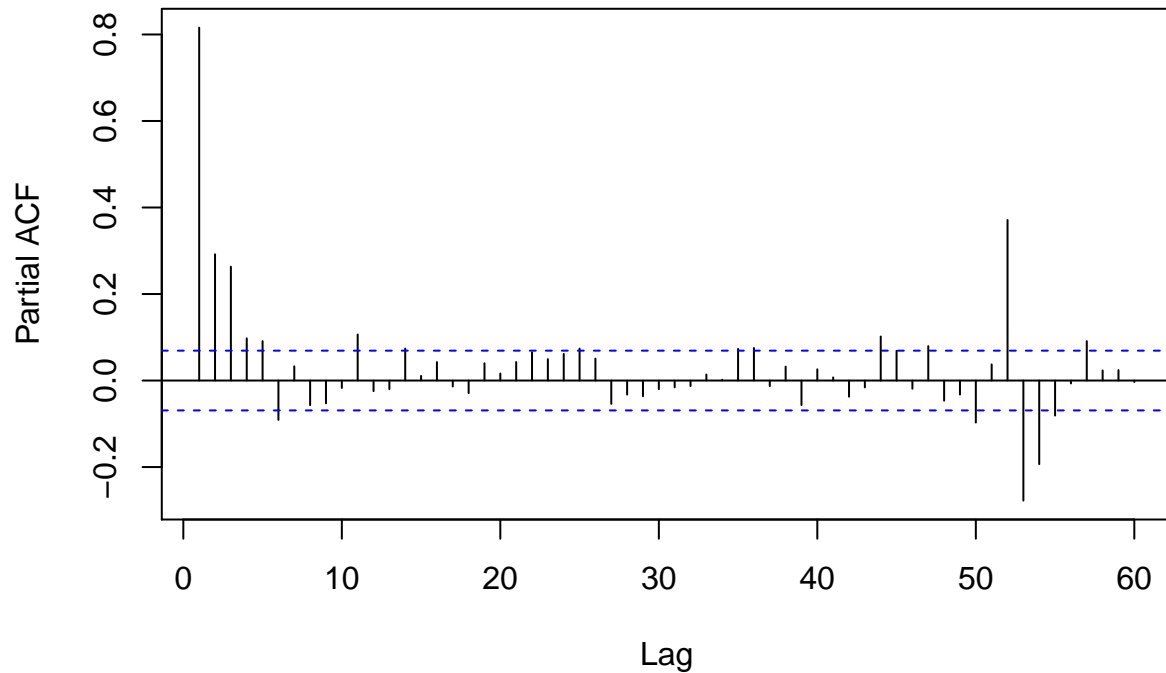
`Acf(t)`



Powolny spadek dodatnich wartości funkcji Acf wskazuje dodatni trend w szeregu.

`Pacf(t, lag.max = 60)`

## Series t



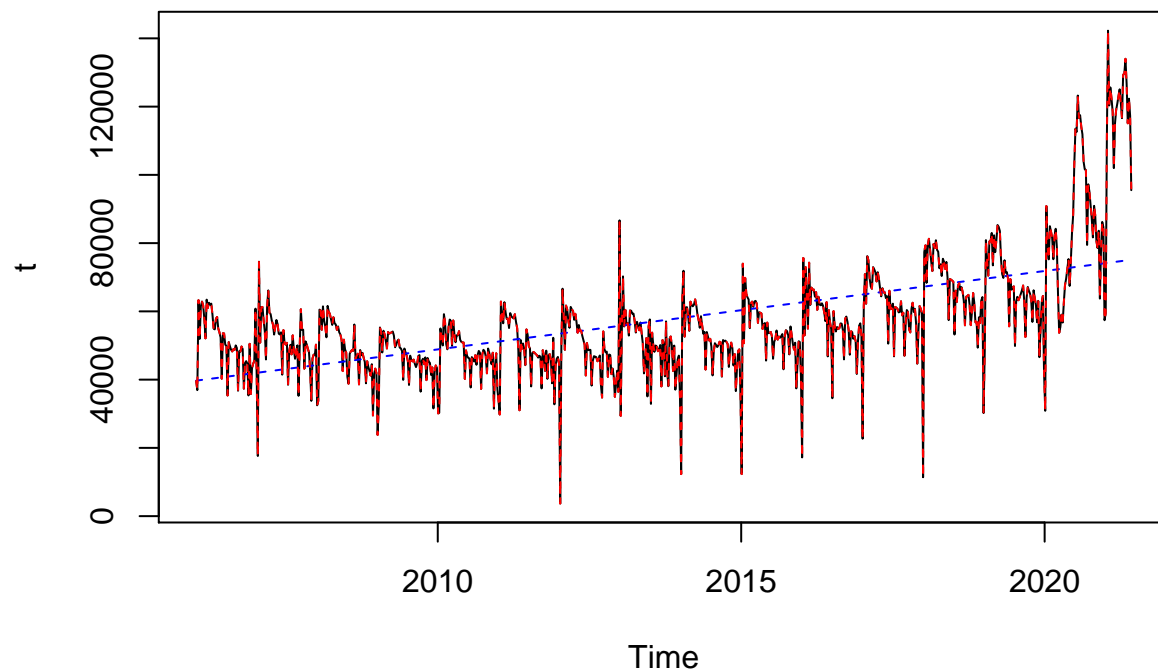
Na wykresie pojawia się wartość znacząca przy Lag=52, ponieważ dane są tygodniowe oznacza to korelację z danymi z poprzednich lat.

## 1.3 Dekompozycja szeregu

### 1.3.1 Modele regresji z trendem liniowym i sezonowością

Poniższy wykres przedstawia dopasowanie dwóch modeli liniowych trendu, z czego jeden z nich uwzględnia sezonowość.

```
ti <- t
tT <- tslm(t ~ trend) # Model regresji z trendem liniowym
tTS <- tslm(t ~ trend + season) # Model regresji z trendem liniowym i sezonowością
plot(t)
lines(fitted(tT), col = "blue", lty = 2)
lines(fitted(tTS), col = "red", lty = 2)
```



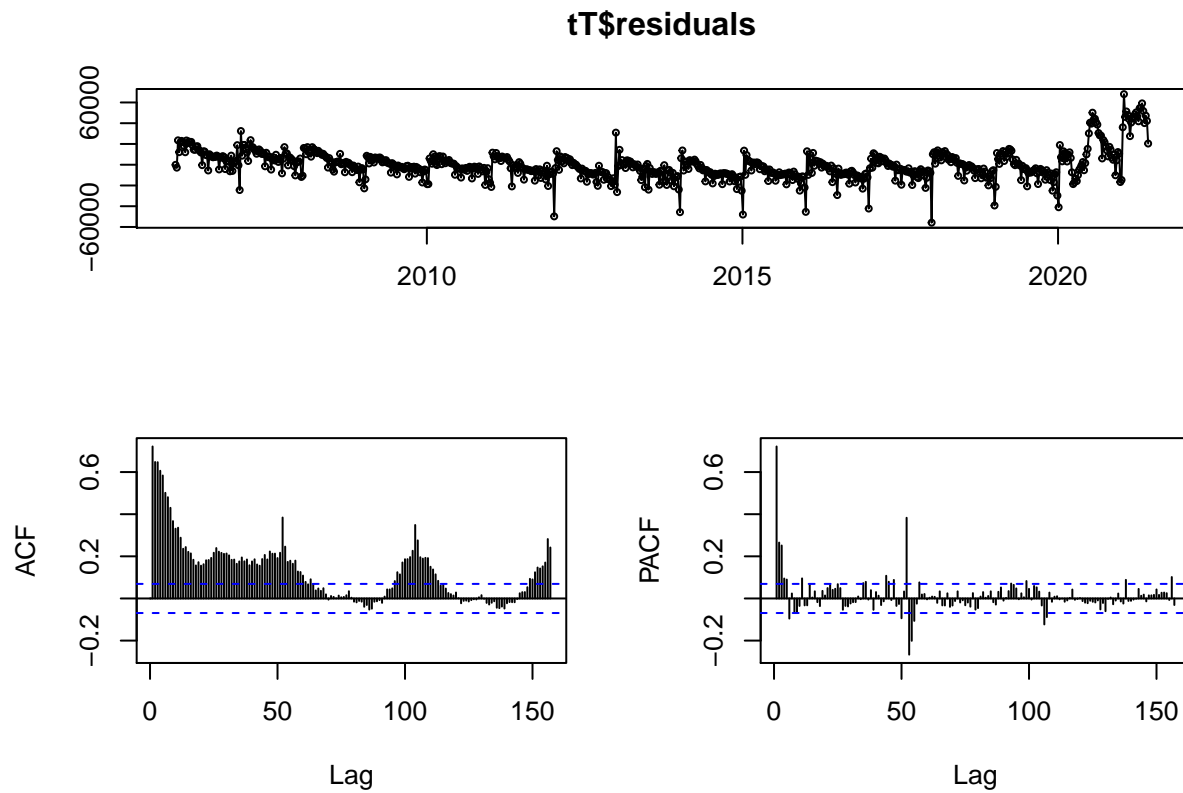
Model czerwony, uwzględniający sezonowość, został bardzo dobrze dopasowany do szeregu. Wręcz za dobrze (gdyż mogło dojść do przeuczenia), gdyż wektor reszt jest wektorem samych zer.

```
head(tTS$residuals)
```

```
## Time Series:
## Start = 2006.01916495551
## End = 2006.11498973306
## Frequency = 52.1785714285714
## [1] 0 0 0 0 0 0
```

Poniżej model uwzględniający wyłącznie trend liniowy. Sezonowość nadal występuje. Widać też niewielki trend po roku 2020.

```
tsdisplay(tT$residuals)
```



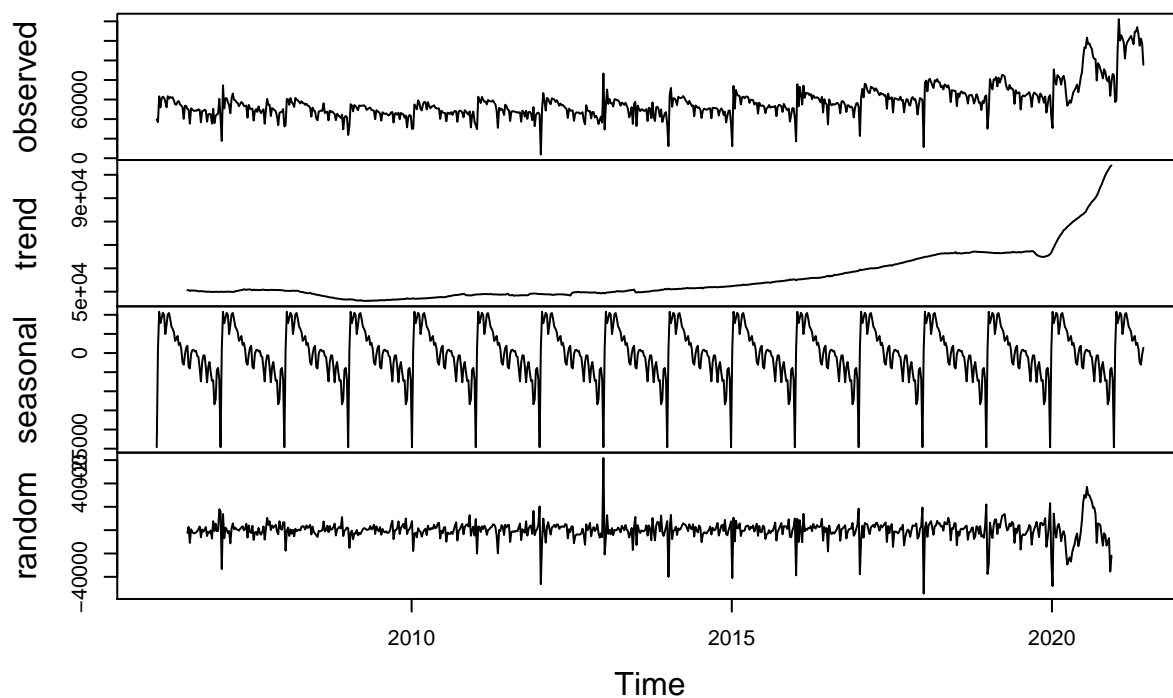
### 1.3.2 Model addytywny

Ze względu na to , że wariancja sezonowa nie zmienia się w czasie (z wyjątkiem lat 2020 i w wzwyż), zastosowałem dekompozycję addytywną.

```
t.decompose.add <- decompose(t)
plot(t.decompose.add)
```



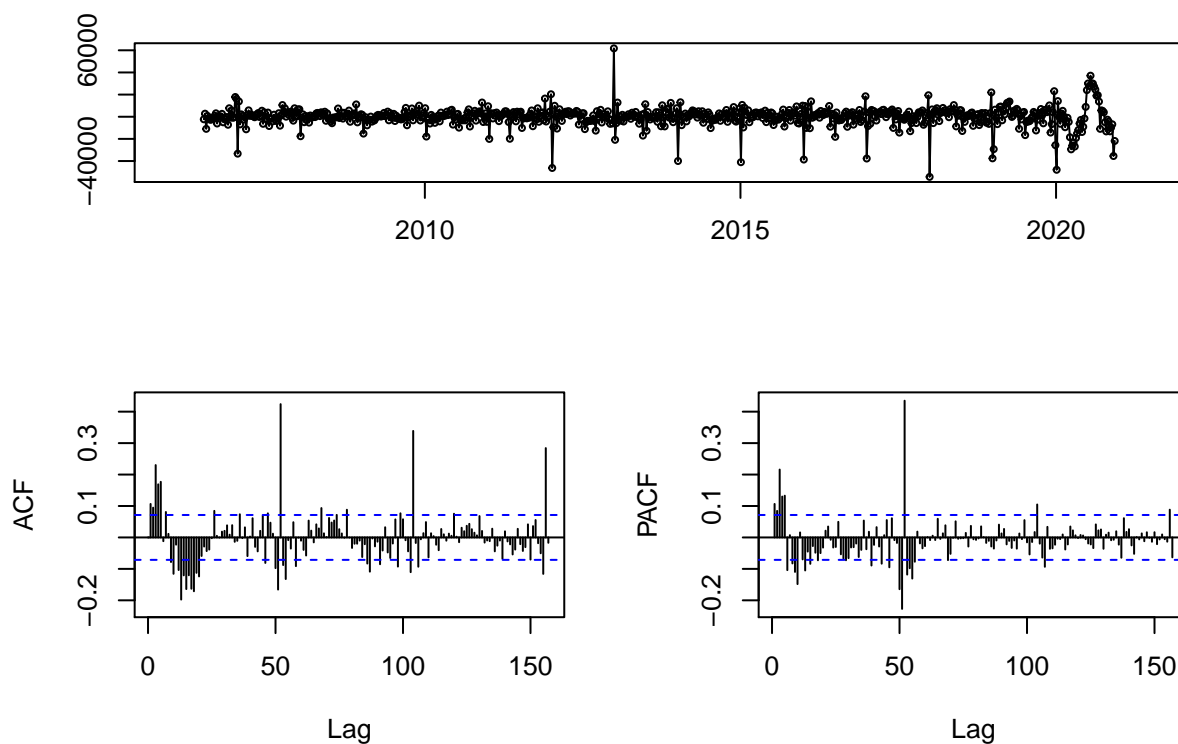
## Decomposition of additive time series



Szereg został rozłożony na swoje składowe, wyraźnie widać sezonowość. Trend najbardziej widoczny jest po roku 2015.

```
tsdisplay(t.decompose.add$random)
```

### t.decompose.add\$random

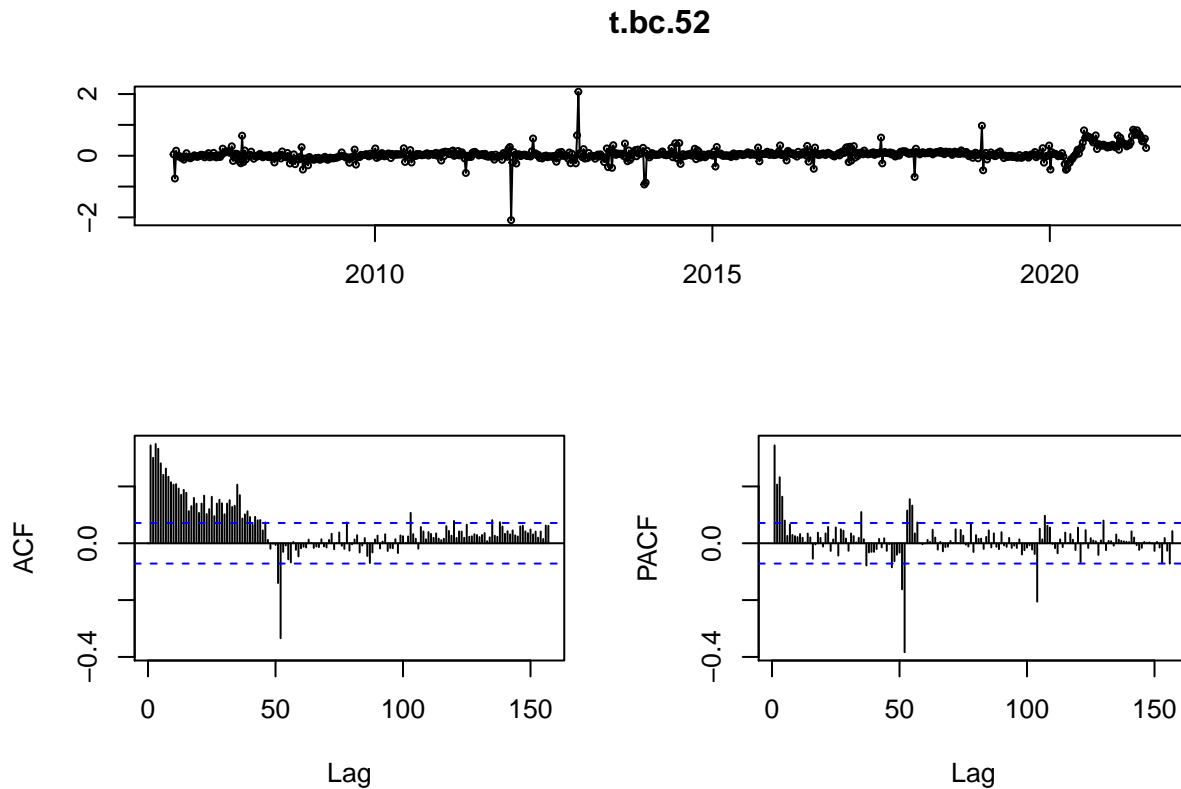


Z wykresów funkcji ACF i PACF odczytać możemy, że cała sezonowość nie została usunięta z szeregu (PACF posiada wartość odstającą ~52).

## 1.4 Eliminacja trendu i sezonowości

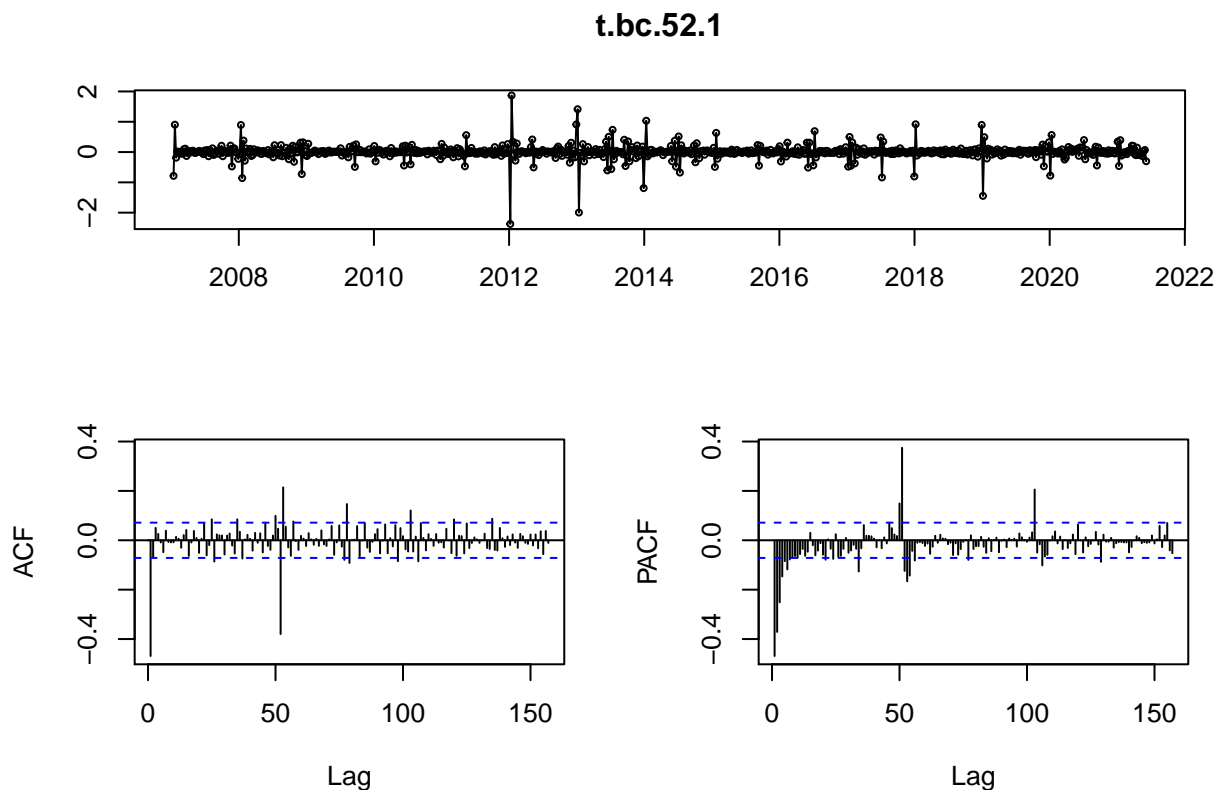
Z poprzednich wykresów wiem, że szereg charakteryzuje się wyraźnym trendem i sezonowością, którą należy wyeliminować. Dodatkowo, aby pozbyć się gwałtownej zmiany wariancji z początku roku 2020, zastosuję transformację logarytmiczną Boxa-Coxa.

```
t.bc <- BoxCox(t, lambda = 0)
t.bc.52 <- diff(t.bc, lag = 52)
tsdisplay(t.bc.52)
```



Po usunięciu sezonowości i zastosowaniu transformacji Boxa-Coxa, nadal pozostał silny trend - wykres funkcji ACF jest dodatni i stopniowo maleje.

```
t.bc.52.1 <- diff(t.bc.52, lag = 1)
tsdisplay(t.bc.52.1)
```



Szereg ten nie jest realizacją szumu białego. Widać to po znaczących wartościach odstających dla lag=52. Stacjonarność szeregu sprawdzę korzystając z biblioteki urca, dla ufności  $\alpha = 0.05$ . Zawiera ona test na stacjonarność szeregu:  $H_0$  - szereg jest stacjonarny, wobec hipotezy alternatywnej: szereg nie jest stacjonarny.

```
library(urca)
t.bc.52.1 %>% ur.kpss() %>% summary()
```

```
##
## #####
## # KPSS Unit Root Test #
## #####
##
## Test is of type: mu with 6 lags.
##
## Value of test-statistic is: 0.0072
##
## Critical value for a significance level of:
##          10pct  5pct 2.5pct  1pct
## critical values 0.347 0.463 0.574 0.739
```

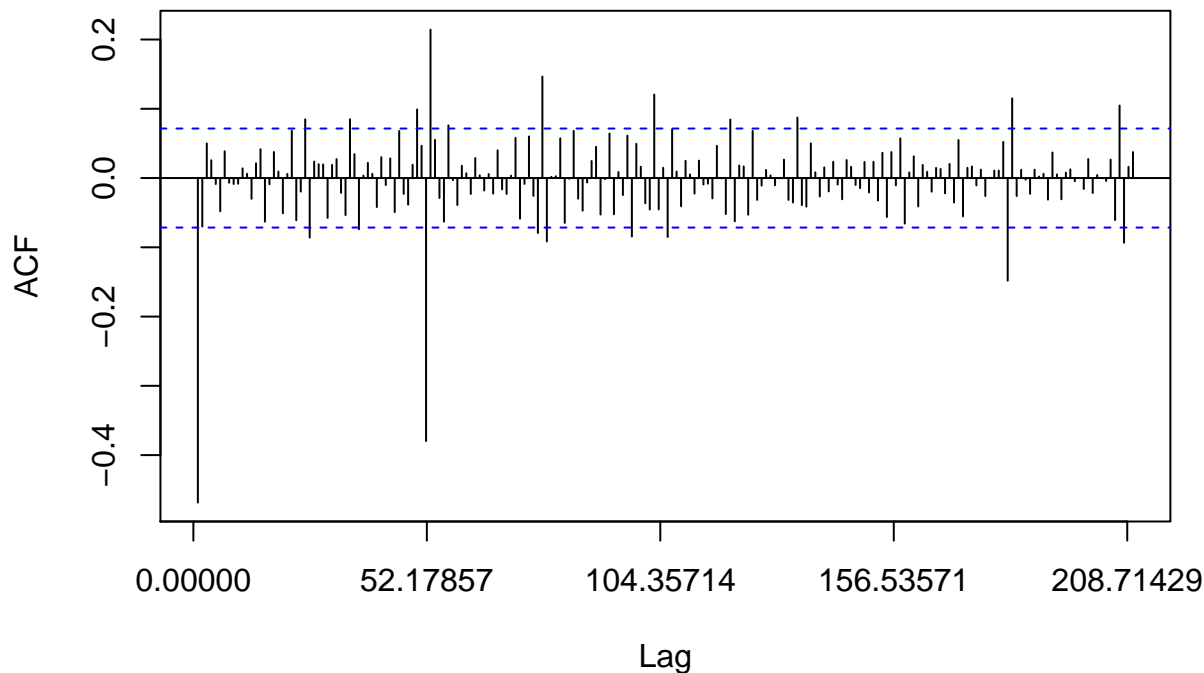
Wartość statystyki jest bardzo mała, wynosi 0.0072, co jest poniżej wartości krytycznej dla zadanego poziomu ufności. Zatem brak podstaw do odrzucenia hipotezy o stacjonarności szeregu.

## 1.5 Wyznaczenie rzędu MA

Do wyznaczenia parametrów skorzystam z funkcji Acf. Rząd modelu dobiorę na podstawie wartości odstających.

```
Acf(t.bc.52.1, lag.max = 210)
```

## Series t.bc.52.1



Do wyboru mam rzędy MA równe:

```
t.bc.52.1.acf <- Acf(t.bc.52.1, plot = FALSE, lag.max = 210)
t.bc.52.1.acf$lag[which(abs(t.bc.52.1.acf$acf)>1.96/sqrt(t.bc.52.1.acf$n.used))] # Wszystkie lag poza p
```

```
## [1] 0 1 25 26 35 37 50 52 53 57 77 78 79 98 103 106 120 135 182
## [20] 183 207 208
```

Obliczam współczynniki MA(52) i MA(26):

```
st <- t.bc.52.1 # szereg stacjonarny
st.ma52 <- Arima(st, order = c(0,0,52))
st.ma26 <- Arima(st, order = c(0,0,26))
```

Oto część obliczonych współczynników dla modeli:

```
c(st.ma26$aic, st.ma26$aicc, st.ma26$bic)
```

```
## [1] -379.6606 -377.4144 -250.2239
```

```
st.ma26$coef[1:5]
```

```
##          ma1          ma2          ma3          ma4          ma5
## -0.859902576 -0.049606422  0.075821570  0.005219935 -0.050431425
```

```
c(st.ma52$aic, st.ma52$aicc, st.ma52$bic)
```

```
## [1] -475.6156 -467.0934 -225.9879
```

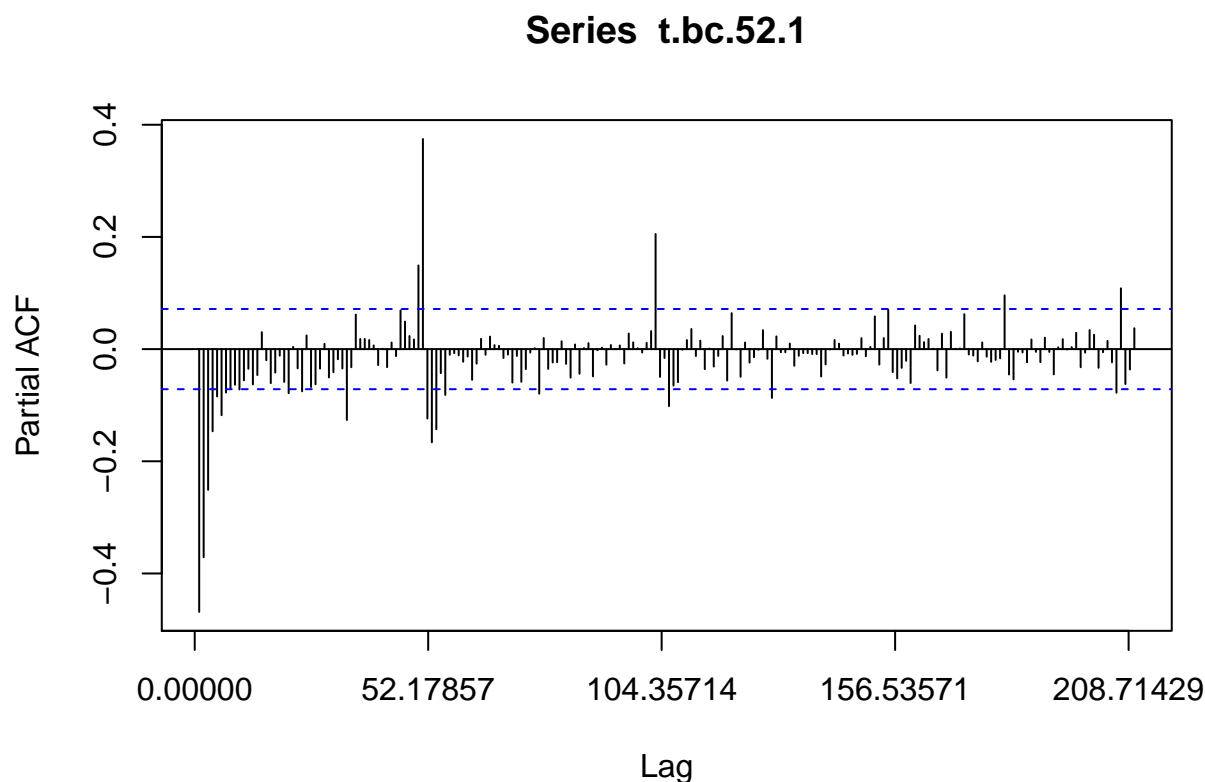
```
st.ma52$coef[1:5]
```

```
##          ma1          ma2          ma3          ma4          ma5
## -1.06816716  0.17039435  0.24707782 -0.08641077 -0.11456170
```

## 1.6 Wyznaczenie rzędu AR

Do wyznaczenia parametrów skorzystam z funkcji Pacf. Rząd modelu dobiorę na podstawie wartości odstających.

```
Pacf(t.bc.52.1, lag.max = 210)
```



Do wyboru mam rzędy AR równe:

```
t.bc.52.1.pacf <- Pacf(t.bc.52.1, plot = FALSE, lag.max = 210)
t.bc.52.1.pacf$lag[which(abs(t.bc.52.1.pacf$acf)>1.96/sqrt(t.bc.52.1.pacf$n.used))] # Wszystkie lag spo
```

```
## [1] 1 2 3 4 5 6 7 10 21 24 34 50 51 52 53 54 56 77 103
## [20] 106 129 181 206 207
```

Obliczam współczynniki AR(52), AR(56):

```
st.ar56.yw <- ar(st, order.max = 56, aic = FALSE, method = "yule-walker")
st.ar56.burg <- ar(st, order.max = 56, aic = FALSE, method = "burg")
st.ar52.yw <- ar(st, order.max = 52, aic = FALSE)
st.ar1.yw <- ar(st, order.max = 1, aic = FALSE)
```

```
st.ar56 <- Arima(st, order = c(56,0,0))
st.ar52 <- Arima(st, order = c(52,0,0), method = "CSS")
```

Współczynniki, aic, aicc oraz bic:

```
c(st.ar56$aic, st.ar56$aicc, st.ar56$bic)
```

```
## [1] -540.7466 -530.8707 -272.6279
```

```
st.ar56$coef[1:10]
```

```
##      ar1      ar2      ar3      ar4      ar5      ar6      ar7
```

```
## -0.9487120 -0.8260767 -0.6259190 -0.4940899 -0.3920653 -0.3648660 -0.3333275
##          ar8          ar9          ar10
## -0.2994878 -0.2852825 -0.2868088

c(st.ar52$aic, st.ar52$aicc, st.ar52$bic)

## [1] NA NA NA

st.ar52$coef[1:10]

##          ar1          ar2          ar3          ar4          ar5          ar6          ar7
## -0.9007710 -0.8146844 -0.6827974 -0.5901726 -0.5369683 -0.5193530 -0.4808162
##          ar8          ar9          ar10
## -0.4372768 -0.4041186 -0.3910632
```

Współczynniki dla AR(56) i AR(52) są podobne.

## 1.7 auto.arima

```
au <- auto.arima(st)

summary(au)

## Series: st
## ARIMA(1,0,0)(1,0,0)[52] with zero mean
##
## Coefficients:
##          ar1          sar1
##        -0.5210    -0.4427
## s.e.    0.0314    0.0322
##
## sigma^2 estimated as 0.03631: log likelihood=174.79
## AIC=-343.58 AICc=-343.54 BIC=-329.71
##
## Training set error measures:
##              ME          RMSE          MAE          MPE          MAPE          MASE
## Training set 0.001074207 0.1903062 0.09991121 263.6516 471.3774 0.4860781
##              ACF1
## Training set -0.2010561
```

## 1.8 Porównanie analizowanych modeli

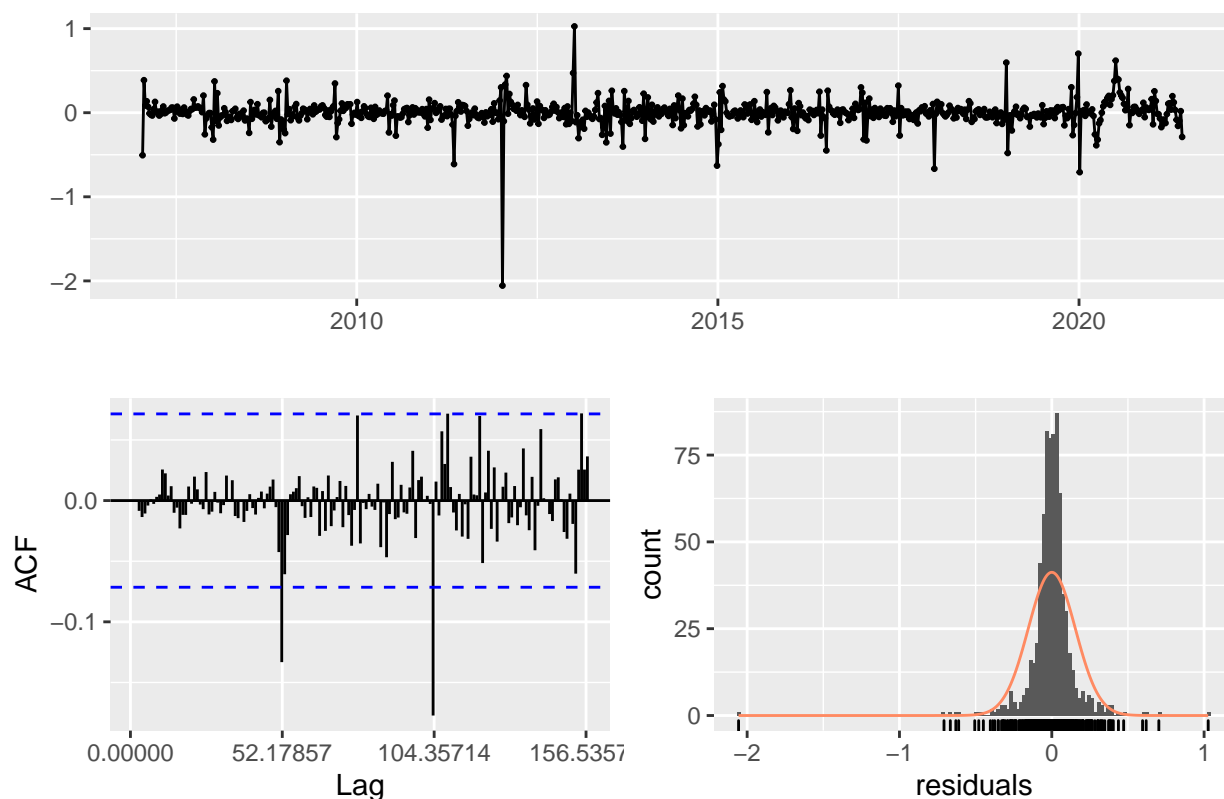
Wszystkie modele korzystały z transformacji Boxa-Coxa więc mogą je porównywać między sobą.

```
# ARIMA(0,0,26)          AIC=-379.66   AICc=-377.41   BIC=-250.22
# ARIMA(0,0,52)          AIC=-475.62   AICc=-467.09   BIC=-225.99
# ARIMA(56,0,0)          AIC=-540.75 + AICc=-530.87 + BIC=-272.63
# ARIMA(1,0,0)           AIC=-181.41   AICc=-181.38   BIC=-167.54
# ARIMA(1,0,0)(1,0,0)[52] AIC=-343.58 AICc=-343.54 BIC=-329.71 +
```

Ze wszystkich modeli, najlepszym wydaje się ARIMA(56,0,0). Pomimo dużej ilości, parametrów jako jedyny przechodzi test Ljung-Boxa (dla  $\alpha = 0.05$ ). Analiza reszt znajduje się na wykresach poniżej.

```
checkresiduals(st.ar56)
```

Residuals from ARIMA(56,0,0) with non-zero mean



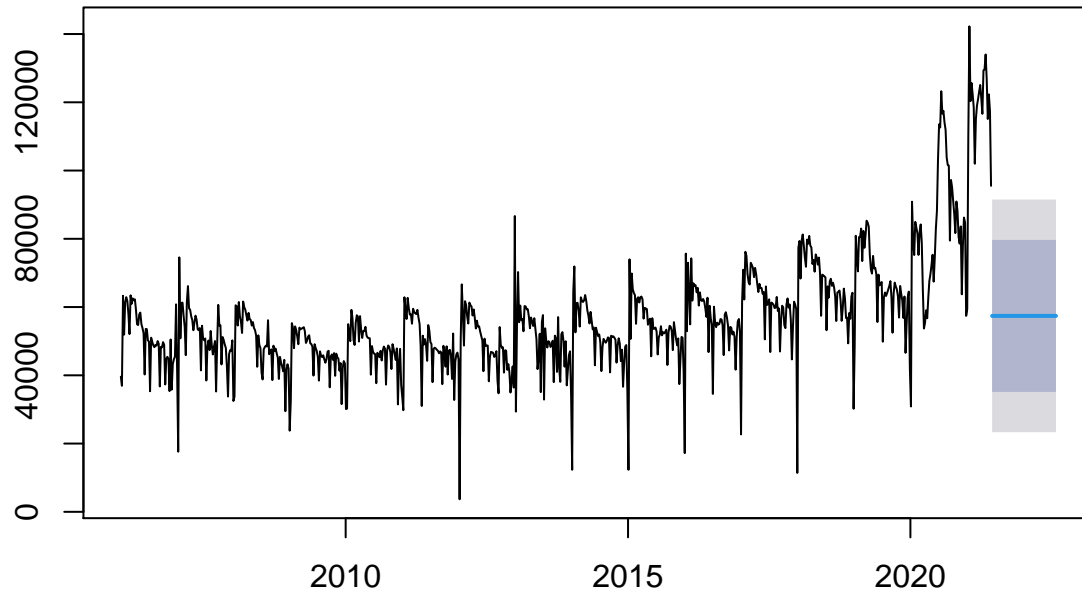
```
##
##  Ljung-Box test
##
## data:  Residuals from ARIMA(56,0,0) with non-zero mean
## Q* = 70.555, df = 47.357, p-value = 0.01601
##
## Model df: 57.    Total lags used: 104.357142857143
```

## 1.9 Prognozowanie

### 1.9.1 Prognozowanie naiwne metodą średniej

```
t.meanf <- meanf(t, h = 60)
plot(t.meanf)
```

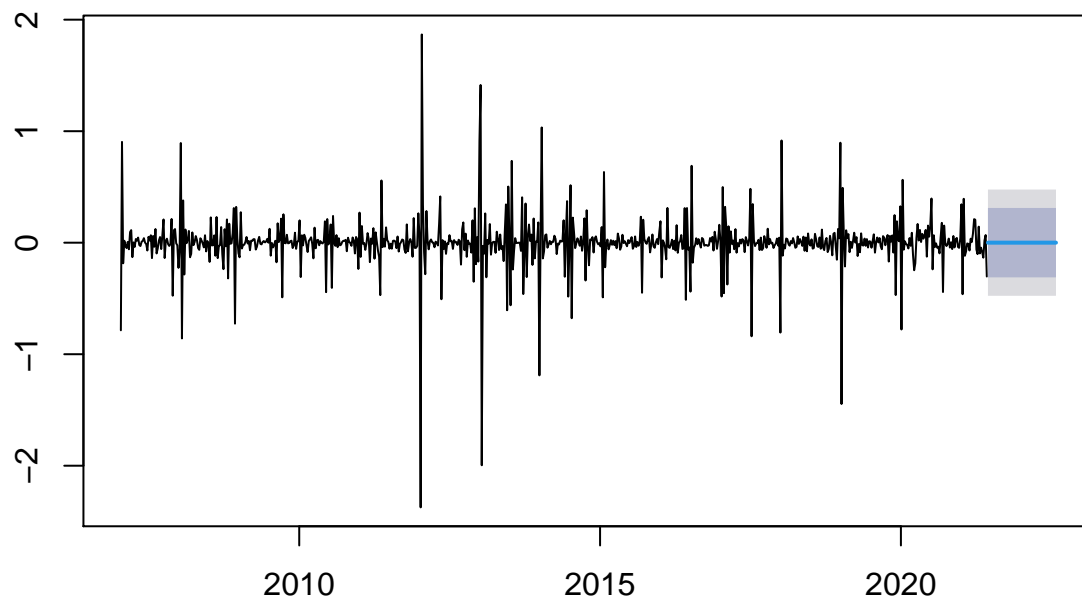
## Forecasts from Mean



Prognostowanie naiwne metodą średniej nie daje dobrych rezultatów, może być to spowodowane tym iż szereg ten zawiera trend i sezonowość. Prognoza dla szeregu bez trendu i sezonowości:

```
st.meanf <- meanf(st, h = 60)
plot(st.meanf)
```

## Forecasts from Mean



Prognoza ta jest dużo lepsza. Dodając trend i sezonowość moglibyśmy uzyskać nią lepsze przewidywania, niż za pierwszym razem.



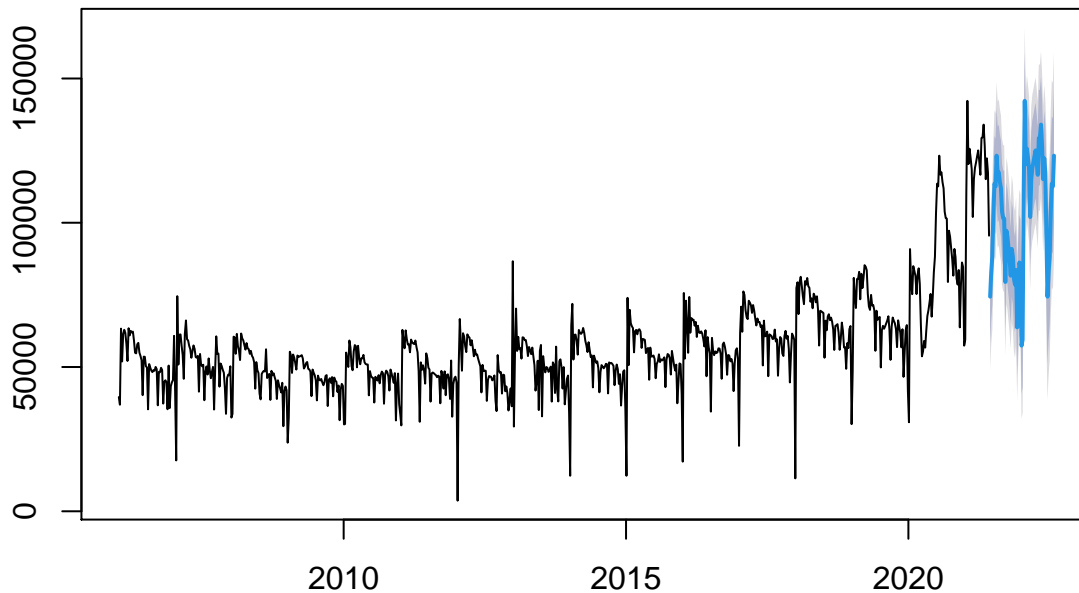
### 1.9.2 Prognozowanie naiwne sezonowe

```
t.snaive <- snaive(t, h = 60)
```

```
## Warning in lag.default(y, -lag): 'k' is not an integer
```

```
plot(t.snaive)
```

#### Forecasts from Seasonal naive method



Prognoza naiwna sezonowa daje na pierwszy rzut oka najlepsze rezultaty. Uwzględnia ona silną sezonowość szeregu oraz to że w poprzednich latach składowa trendu była dużo większa, jednak nie uwzględnia ona przyszłego wzrostu trendu.

## 2 Index cen nieruchomości

Szereg ten pochodzi ze strony FRED. Szereg obliczany jest na podstawie danych z obrotów nieruchomości i wygładzany jest z pomocą 3-miesięcznej średniej ruchomej. Głównie brane pod uwagę są domy jednorodzinne. Szereg został unormowany tak aby cena ze stycznia 2000 roku była równa 100 i każda następna jest określona wobec niej.

Korzyści jakie może przynieść analiza tego szeregu to przewidywanie cen nieruchomości na rynku czy przewidywanie kolejnej bańki finansowej.

### 2.1 Wczytanie danych

Dane pobrane zostały ze strony <https://fred.stlouisfed.org/series/CSUSHPINSA> w formacie csv.

```
ind <- read.csv2("Datasets/CSUSHPINSA.csv", sep = ",")
ind$CSUSHPINSA <- as.numeric(ind$CSUSHPINSA)
head(ind)
```

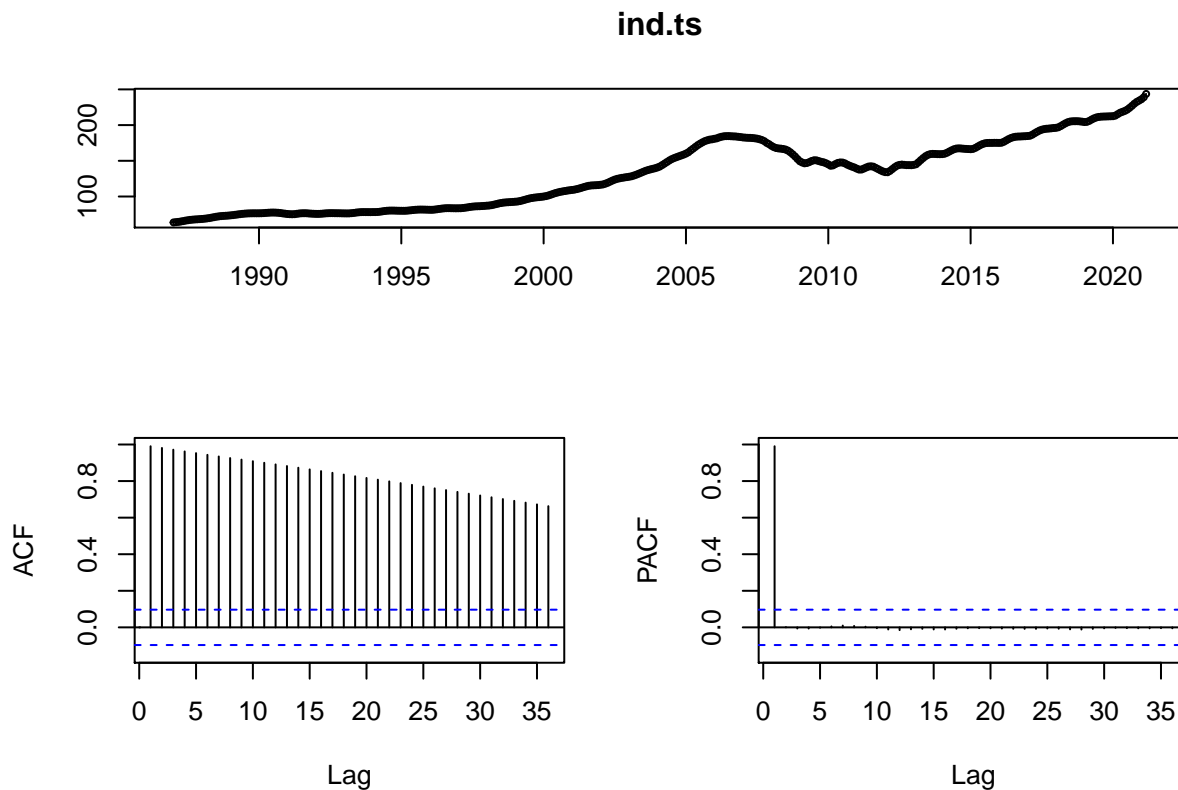
```
##      DATE CSUSHPINSA
## 1 1987-01-01      63.735
## 2 1987-02-01      64.135
## 3 1987-03-01      64.471
```

```
## 4 1987-04-01      64.977
## 5 1987-05-01      65.552
## 6 1987-06-01      66.221
```

## 2.2 Główne cechy analizowanych danych

Zacznę od zamiany szeregu na szereg czasowy oraz analizy funkcji ACF i PACF.

```
ind.ts <- ts(ind$CSUSHPINSA, start = c(1987, 01), frequency = 12)
tsdisplay(ind.ts)
```



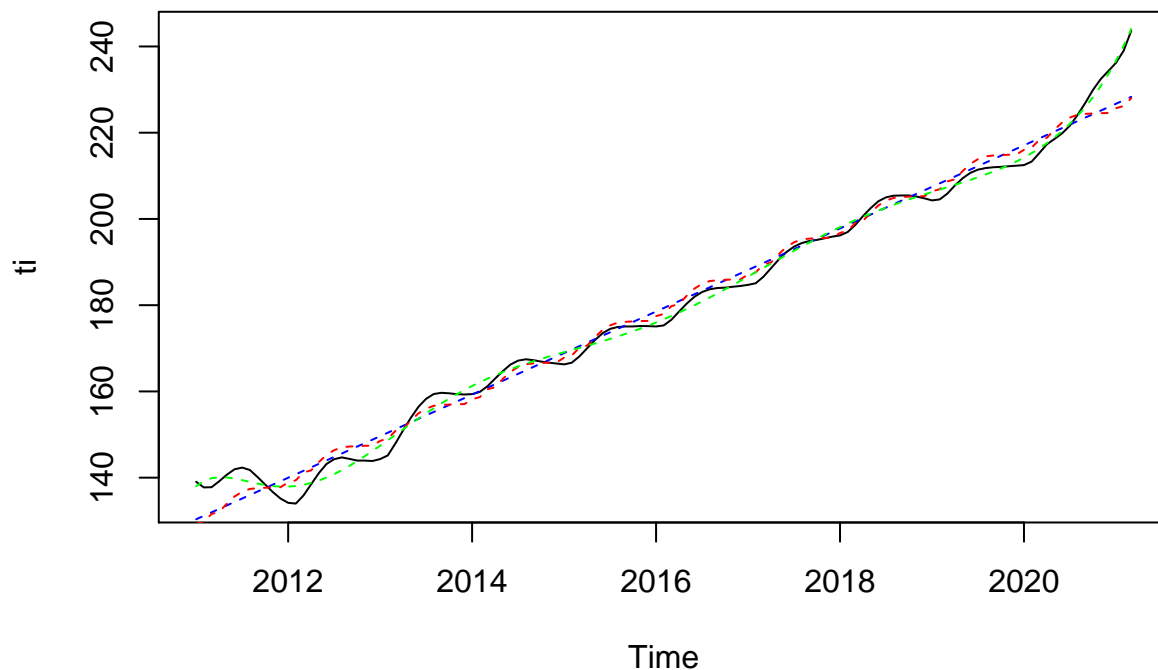
Szereg charakteryzuje się dodatnim trendem (dodatnia, powoli opadająca funkcja ACF). Na pierwszy rzut oka nie widać sezonowości, także funkcja PACF na nią nie wskazuje. Problemem natomiast mogą być dane z roku 2010. Zatem w celu dopasowania szeregu do analizy dane sprzed roku 2011 zostaną pominięte.

```
ind.ts <- window(ind.ts, start = c(2011,01))
```

## 2.3 Dekompozycje szeregu

### 2.3.1 Modele z trendem liniowym, wielomianowym i sezonowością

```
ti <- ind.ts
tT <- tslm(ti ~ trend) # Model regresji z trendem liniowym
tTS <- tslm(ti ~ trend + season) # Model regresji z trendem liniowym i sezonowością
tPS <- tslm(ti ~ poly(trend, raw=TRUE, degree = 9)) # Model regresji z trendem liniowym i
plot(ti)
lines(fitted(tT), col = "blue", lty = 2)
lines(fitted(tTS), col = "red", lty = 2)
lines(fitted(tPS), col = "green", lty = 2)
```

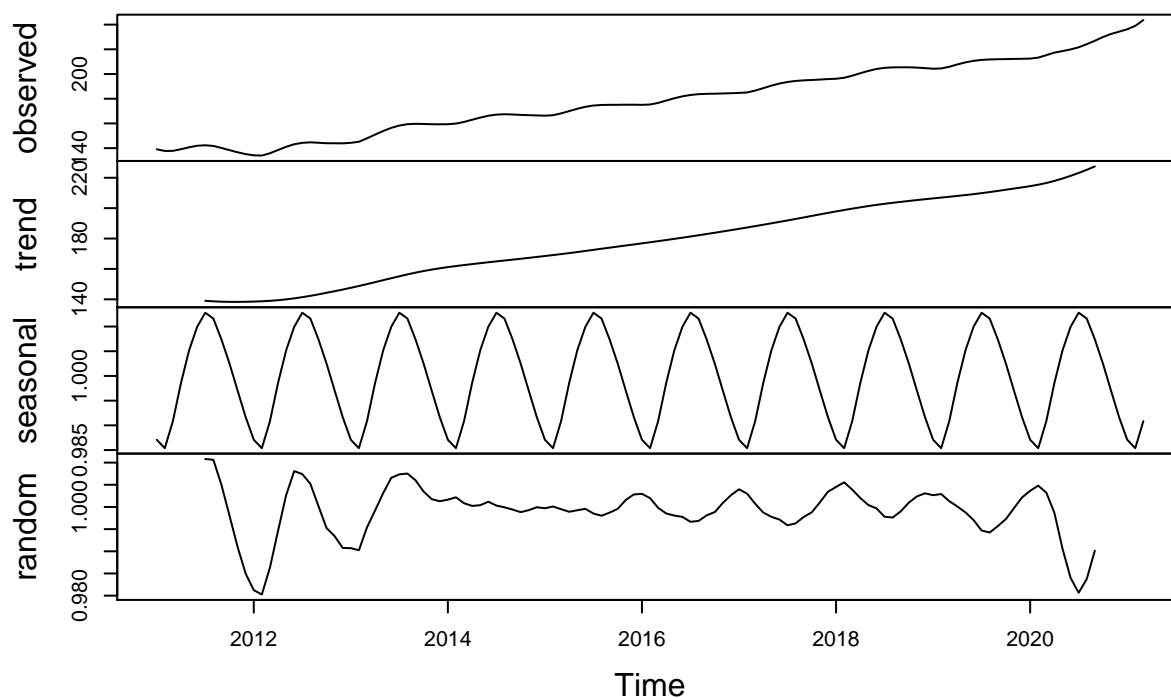


Dekompozycja wskazuje na to, że nie jest to trend liniowy. Sezonowość również nie jest wyraźnie widoczna i nie wpływa na dopasowanie modelu do szeregu.

### 2.3.2 Model multiplikatywny

```
ind.decompose <- decompose(ind.ts, type = "multiplicative")
plot(ind.decompose)
```

#### Decomposition of multiplicative time series



Dekompozycja multiplikacyjna potwierdza wcześniejsze wyniki. Wyraźny jest trend, patrząc na rząd uzyskanej sezonowości, jest on dwukrotnie mniejszy od trendu.

## 2.4 Usunięcie trendu i sezonowości

Tym razem skorzystam z pomocy funkcji `ndiffs` i `nsdiffs`, wskazują one ile razy należy różnicować, aby usunąć trend i sezonowość.

```
ndiffs(ind.ts)
```

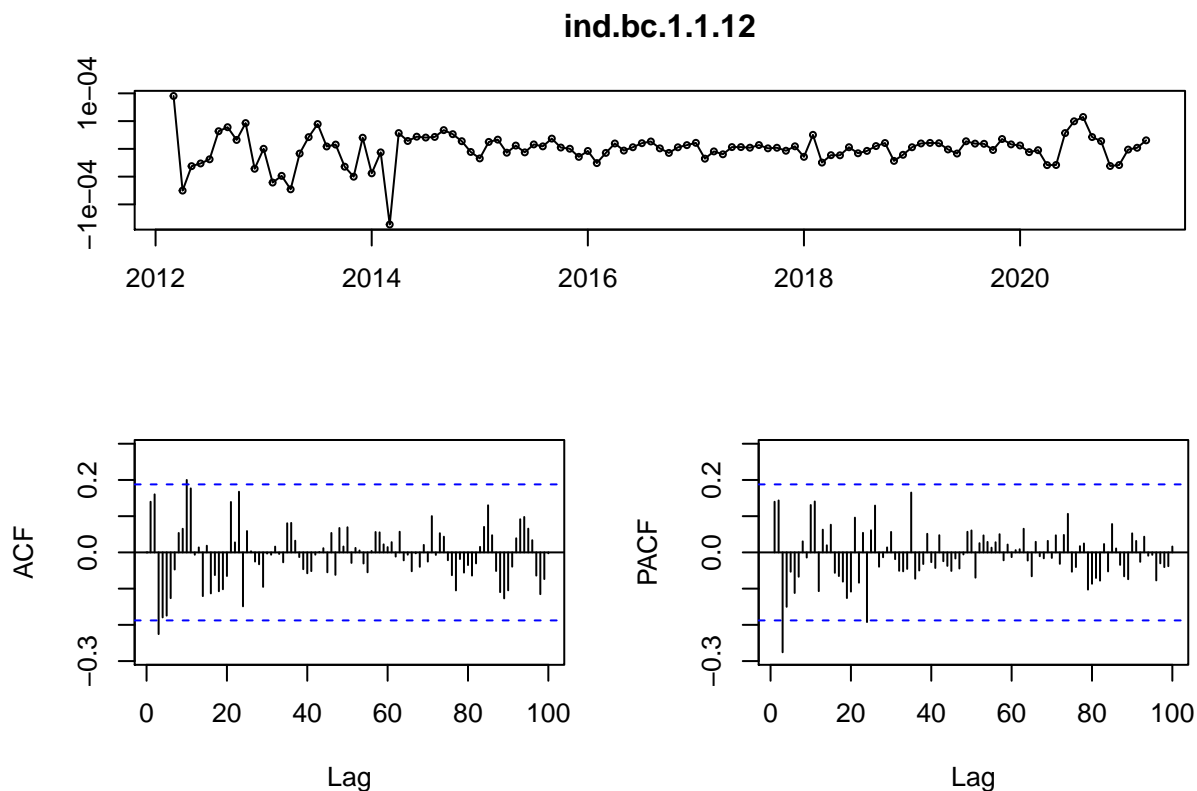
```
## [1] 1
```

```
nsdiffs(ind.ts)
```

```
## [1] 1
```

Funkcje wskazują na to, że aby uzyskać szereg stacjonarny należy zróżnicować co najmniej jednokrotnie z `lag=1` oraz jednokrotnie z `lag=12`.

```
ind.lambda <- BoxCox.lambda(ind.ts)
ind.bc <- BoxCox(ind.ts, ind.lambda)
ind.bc.1.1 <- diff(diff(ind.bc, lag = 1), lag = 1)
ind.bc.1.1.12 <- diff(ind.bc.1.1, lag = 12)
tsdisplay(ind.bc.1.1.12, lag.max = 100)
```



Jak widać po zróżnicowaniu reszty przypominają już szereg stacjonarny. Zostanie to jeszcze potwierdzone testem.

```
shapiro.test(ind.bc.1.1.12)
```

```
##
```

```
## Shapiro-Wilk normality test
```

```
##
```

```
## data: ind.bc.1.1.12
## W = 0.90079, p-value = 6.23e-07
```

Szereg reszt nie jest realizacją szumu białego.

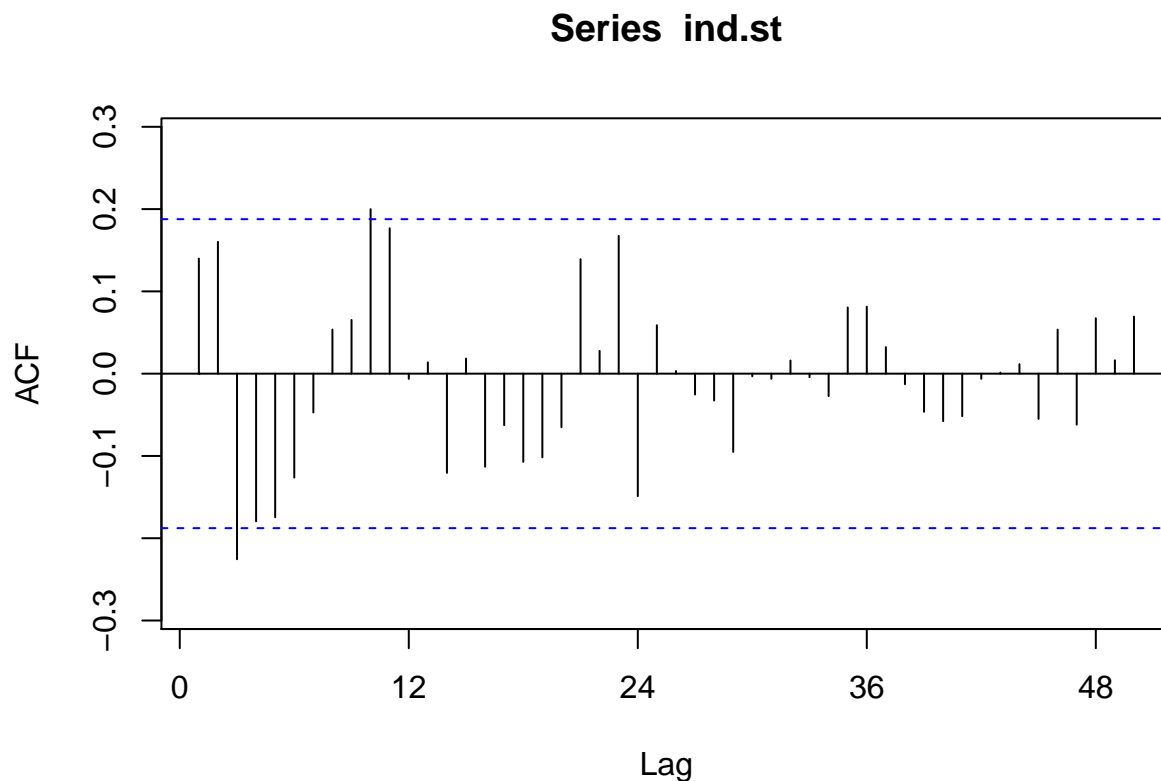
```
ind.bc.1.1.12 %>% ur.kpss(use.lag = 12) %>% summary()
```

```
##
## #####
## # KPSS Unit Root Test #
## #####
##
## Test is of type: mu with 12 lags.
##
## Value of test-statistic is: 0.2254
##
## Critical value for a significance level of:
##          10pct  5pct  2.5pct  1pct
## critical values 0.347 0.463  0.574 0.739
```

Test wskazuje na to, że nie ma podstaw do odrzucenia hipotezy o tym, że szereg jest stacjonarny.

## 2.5 Wyznaczenie rzędu MA

```
ind.st <- ind.bc.1.1.12 # Szereg stacjonarny
Acf(ind.st, lag.max = 50)
```



Do rozważenia mamy następujące modele MA:

```
ind.st.acf <- Acf(ind.st, plot = FALSE, lag.max = 100)
ind.st.acf$lag[which(abs(ind.st.acf$acf)>1.96/sqrt(ind.st.acf$n.used))] # Wszystkie lag poza przedziałem
```

```
## [1] 0 3 10
```

Wyznaczę modele MA(12), MA(9) oraz MA(3):

```
ind.st.ma10 <- Arima(st, order = c(0,0,10))
ind.st.ma3 <- Arima(st, order = c(0,0,3))
```

Część współczynników oraz metryki modeli:

```
c(ind.st.ma10$aic, ind.st.ma10$aicc, ind.st.ma10$bic)
```

```
## [1] -394.3058 -393.8837 -338.8330
```

```
ind.st.ma10$coef[1:5]
```

```
##          ma1          ma2          ma3          ma4          ma5
## -0.858563469 -0.043624786  0.084099016 -0.008189441 -0.050676046
```

```
c(ind.st.ma3$aic, ind.st.ma3$aicc, ind.st.ma3$bic)
```

```
## [1] -397.3129 -397.2324 -374.1992
```

```
ind.st.ma3$coef
```

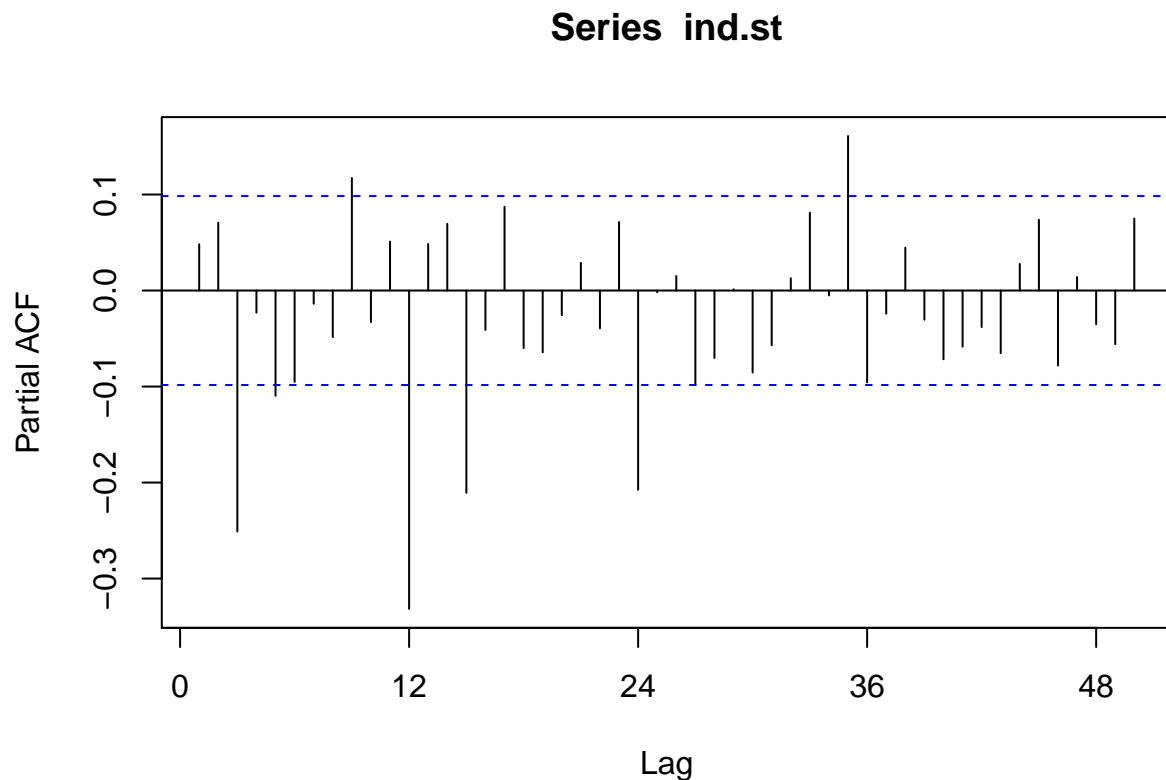
```
##          ma1          ma2          ma3      intercept
## -0.8500634318 -0.0501600018  0.0141696263  0.0008092502
```

Współczynniki MA(10) i MA(3) są podobne. Wszystkie modele mają podobne wartości AIC, AICc oraz BIC.

## 2.6 Wyznaczenie rzędu AR

Rzędy modelu AR można odczytać z wykresu Pacf.

```
Pacf(ind.st, lag.max = 50)
```



Skorzystam z pomocniczej funkcji.

```
ind.st.pacf <- Pacf(ind.st, plot = FALSE, lag.max = 100)
ind.st.pacf$lag[which(abs(ind.st.pacf$acf)>1.96/sqrt(ind.st.pacf$n.used))] # Wszystkie lag poza przedzi
```

```
## [1] 3 5 9 12 15 24 35 60 82
```

Obliczę współczynniki dla AR(3) i AR(24):

```
ind.st.ar3 <- Arima(st, order = c(3,0,0))
ind.st.ar24 <- Arima(st, order = c(24,0,0))
```

Część współczynników oraz metryki modeli:

```
c(ind.st.ar3$aic, ind.st.ar3$aicc, ind.st.ar3$bic)
```

```
## [1] -338.0322 -337.9517 -314.9185
```

```
ind.st.ar3$coef[1:3]
```

```
##          ar1          ar2          ar3
## -0.7416738 -0.5372127 -0.2538657
```

```
c(ind.st.ar24$aic, ind.st.ar24$aicc, ind.st.ar24$bic)
```

```
## [1] -374.3548 -372.4183 -254.1637
```

```
ind.st.ar24$coef[1:5]
```

```
##          ar1          ar2          ar3          ar4          ar5
## -0.8535014 -0.7637317 -0.6098465 -0.4895556 -0.4252854
```

Metryki ACC i ACCc tych modeli są podobne, ale model AR(3) ma lepszą (mniejszą) metrykę BIC.

## 2.7 auto.arima

```
ind.auto <- auto.arima(ind.st, ic="aicc")
summary(ind.auto)
```

```
## Series: ind.st
## ARIMA(0,0,0) with zero mean
##
## sigma^2 estimated as 7.693e-10: log likelihood=989.05
## AIC=-1976.09 AICc=-1976.06 BIC=-1973.4
##
## Training set error measures:
##              ME              RMSE              MAE MPE MAPE              MASE
## Training set -3.583462e-07 2.773631e-05 1.843991e-05 100 100 0.7323253
##              ACF1
## Training set 0.139861
```

## 2.8 Porównanie analizowanych modeli

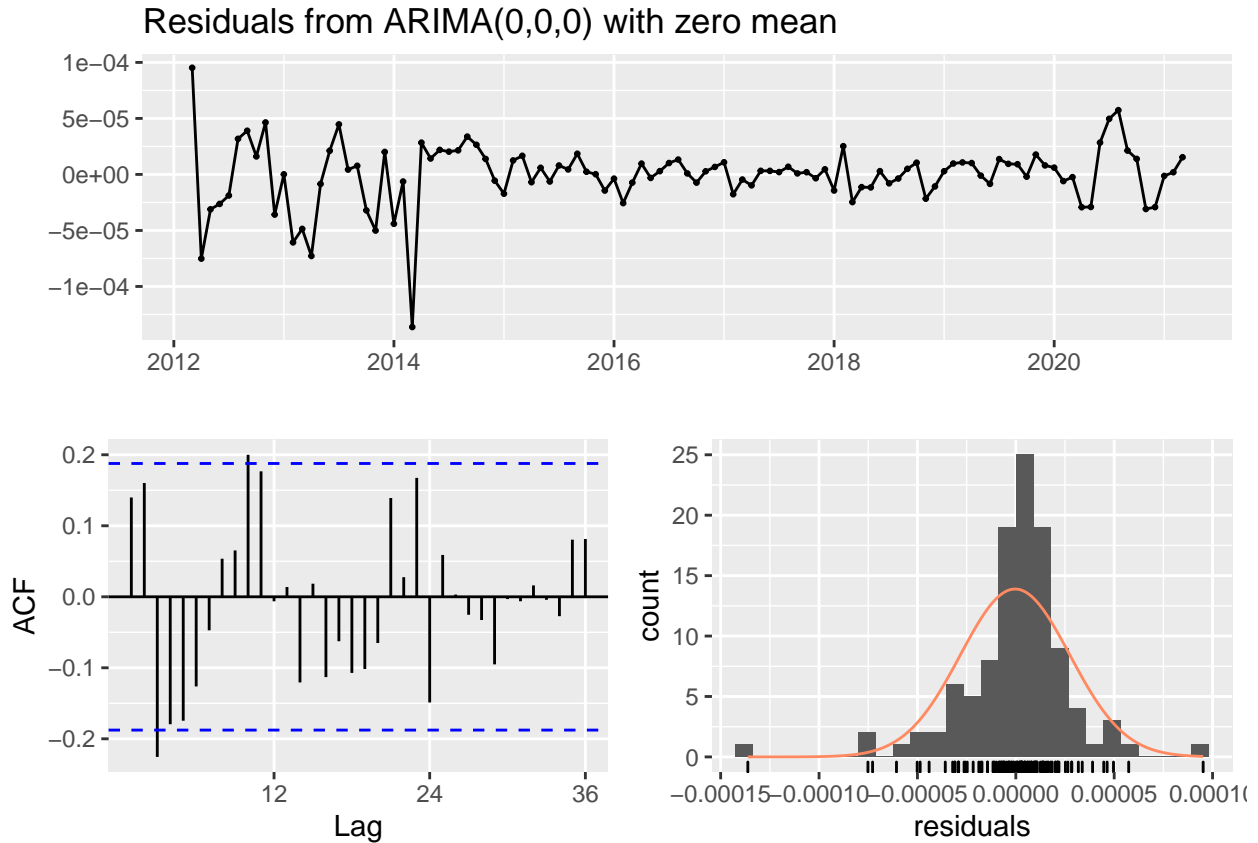
Zebrałem parametry AIC, AICc oraz BIC dla tego szeregu w tabeli poniżej. Wybrany zostanie model, który ma te współczynniki najmniejsze.

# ARIMA(0,0,10)	AIC=-394.31	AICc=-393.88	BIC=-338.83
# ARIMA(0,0,3)	AIC=-397.31	AICc=-397.23	BIC=-374.2
# ARIMA(3,0,0)	AIC=-338.03	AICc=-337.95	BIC=-314.9
# ARIMA(24,0,0)	AIC=-374.35	AICc=-372.42	BIC=-254.16

```
# ARIMA(0,0,0)      AIC=-1976.09 +  AICc=-1976.06 +  BIC=-1973.4 +
```

Najlepszym wydaje się model dobrany automatycznie ARIMA(0,0,0). Poprawność modelu, sprawdzę z pomocą funkcji `checkresiduals`.

```
checkresiduals(ind.auto)
```



```
##
##  Ljung-Box test
##
## data:  Residuals from ARIMA(0,0,0) with zero mean
## Q* = 40.256, df = 22, p-value = 0.01009
##
## Model df: 0.   Total lags used: 22
```

Reszty przechodzą test.

## 2.9 Prognozowanie

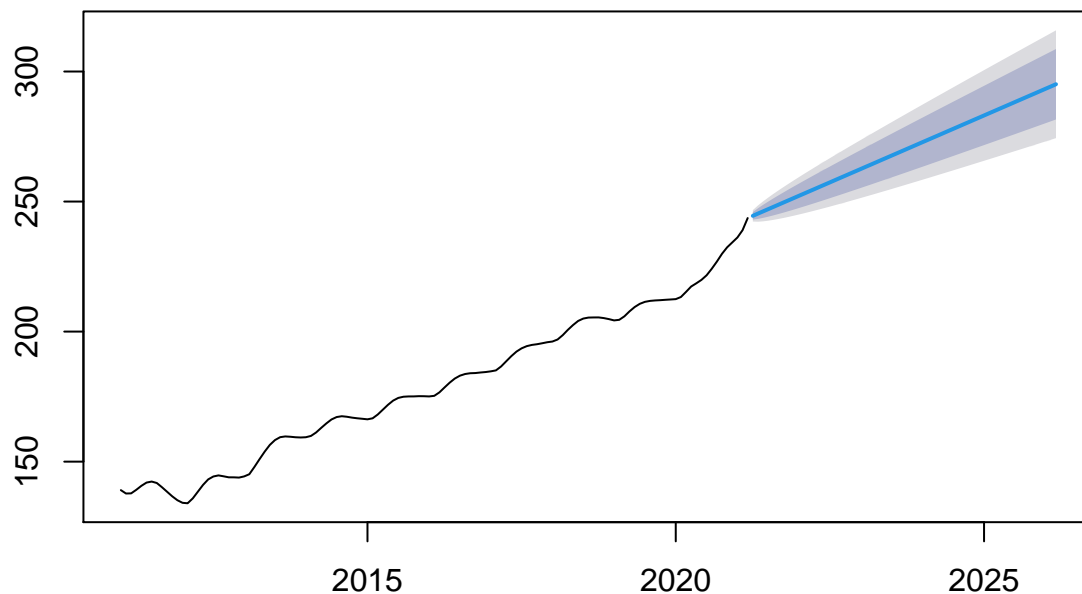
Do prognozowania zostaną wykorzystane modele naiwne.

### 2.9.1 Błądzenie losowe z dryfem

```
plot(rwf(ind.ts, h = 60, drift = TRUE))
```



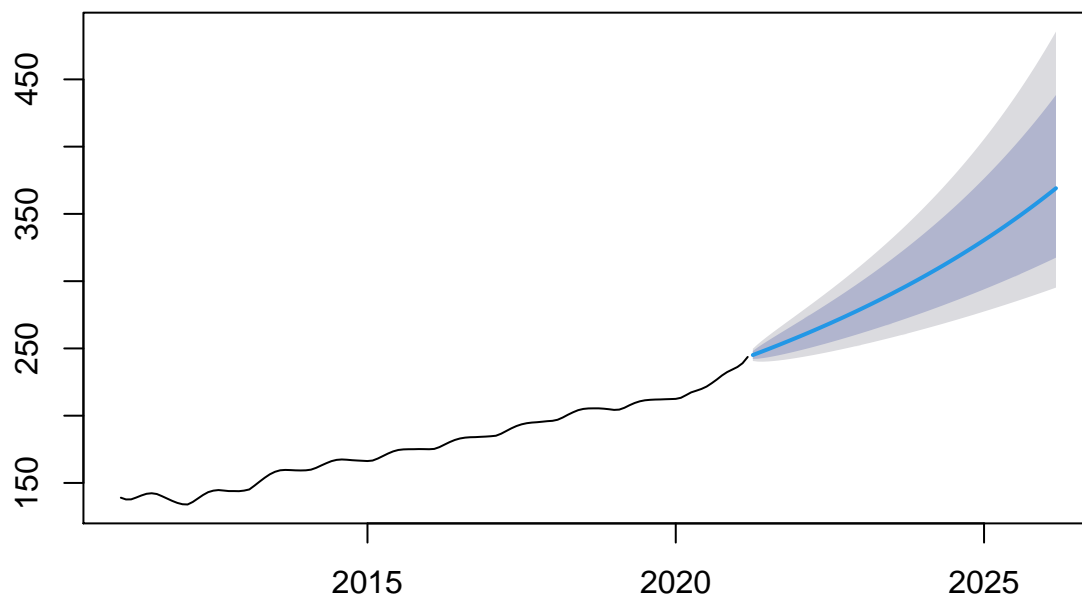
## Forecasts from Random walk with drift



Model błędzenia losowego z dryfem dobrze sprawdza się dla tego modelu, ponieważ uwzględnia on jego rosnący trend. Predykcje może poprawić ustawienie parametru `lambda`.

```
plot(rwf(ind.ts, h = 60, drift = TRUE, lambda = ind.lambda))
```

## Forecasts from Random walk with drift

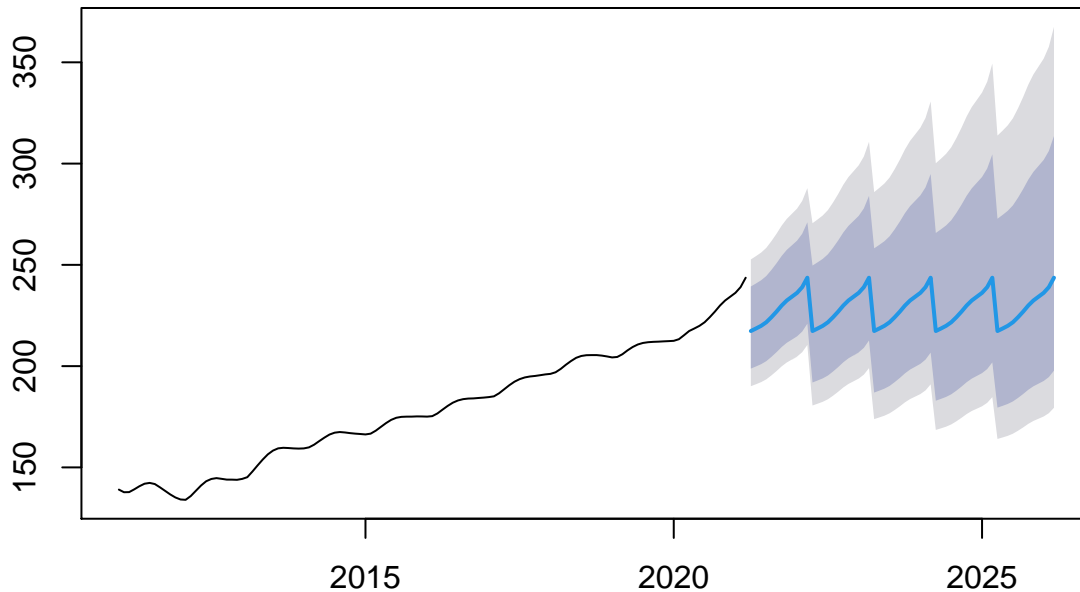


Predykcja na pierwszy rzut oka znacznie się poprawiła, przynajmniej dla najbliższych kilku miesięcy, raczej nie można się spodziewać ciągłego wzrostu tego indeksu.

### 2.9.2 Prognozowanie naiwne sezonowe

```
plot(snaive(ind.ts, h = 60, lambda = ind.lambda))
```

#### Forecasts from Seasonal naive method



Prognoza ta nie wydaje się odpowiednia. Nie uwzględnia tego, że indeks może rosnać.

## 3 Wnioski

Modelowanie szeregów z pomocą R jest bardzo proste. Mamy szereg gotowych funkcji, które przeprowadzą nas przez cały proces od dekompozycji szeregu, eliminacji trendu i sezonowości po automatyczne dopasowanie modelu do szeregu. Nie wszystkie szeregi jednak będzie się dało tak modelować, w przypadku modeli ARIMA generowanych funkcją `auto.arima` nadal należy sprawdzić czy szereg reszt zachowuje się jak biały szum (gdyż nie zawsze tak jest), można to zrobić chociażby funkcją `checkresiduals`. Prognozy naiwne dają proste predykcje na temat najbliższej przyszłości, które mogą być w miarę dokładne o ile wybraliśmy odpowiednią funkcję do predykcji oraz przedział predykcji nie jest zbyt duży.